

به کارگیری روش درونیابی مشتق تعمیم یافته جهت بررسی عملکرد یاتاقان‌های ژورنال غیرمدور دولب با روان‌کار میکروپلار

مهدی زارع مهرجردی^۱ و اصغر دشتی رحمت‌آبادی^۲

دانشکده فنی و مهندسی

دانشگاه یزد

(تاریخ دریافت: ۸۸/۴/۸؛ تاریخ پذیرش: ۹۰/۴/۱۹)

چکیده

روش درونیابی مشتق تعمیم یافته یک روش حل عددی مرتبه بالاست که در آن برخلاف سایر روش‌های عددی، از مقادیر تابع آزمایشی مورد استفاده بر روی تمامی نقاط نمونه درون دامنه مسئله، برای حدس مقادیر مشتق تابع مجھول اصلی استفاده می‌شود. لذا، این روش نسبت به سایر روش‌های عددی، نظری روش‌های اجزاء محدود و تفاضل محدود، در دستیابی به نتایج سرعت همگرایی بالاتری را با دقت یکسان دارد. این روش در حل معادلات دیفرانسیل غیرخطی حاکم بر مسائل مختلف نیز توانایی بالایی دارد. در کار حاضر، مشخصه‌های عملکرد استاتیکی یاتاقان‌های ژورنال مدور و غیرمدور دولب، تحت شرایط روان‌کاری با سیال میکروپلار، با استفاده از روش درونیابی مشتق تعمیم یافته، مورد بررسی قرار گرفته و تأثیر پارامترهای هندسی مختلف، مانند ابعاد یاتاقان و پریلوود، بر عملکرد این گروه از یاتاقان‌ها بررسی می‌شود. مقایسه نتایج در حالات مختلف برای یاتاقان ژورنال مدور نشان دهنده برقراری تطابق مناسب بین نتایج حاصل از روش درونیابی مشتق تعمیم یافته و سایر روش‌های عددی می‌باشد. همچنین، نتایج حاصل از بررسی یاتاقان‌های ژورنال غیرمدور دولب بیانگر افزایش قابلیت حمل بار یاتاقان، کاهش ضربی اصطکاک، زاویه وضعی و نشتی روان‌کار از یاتاقان با جایگزینی روان‌کار میکروپلار به جای انواع نیوتونی آن می‌باشد.

واژه‌های کلیدی: روش درونیابی مشتق تعمیم یافته، روان‌کاری هیدرودینامیکی، روان‌کار میکروپلار، یاتاقان ژورنال مدور

Application of Generalized Differential Quadrature Method to Non-circular Two-lobe Journal Bearings' Performance Analysis

M. Zare-Mehrjardi and A. Dashti Rahmatabadi

Eng. Dep't.
Yazd Univ.

(Received: 29 June, 2009; Accepted: 10 July, 2011)

ABSTRACT

This paper presents the application of generalized differential quadrature (GDQ) method for analysis of circular and non-circular (two-lobe) journal bearings, lubricated with micro polar fluid. Generalized differential quadrature is a simple, efficient, and high-order numerical technique, which uses the information on all sample grid points to approach the derivatives of the unknown function. The effectiveness of the solution technique is verified by comparing the GDQ computed results with previous results of circular journal bearing. It is seen from the results that GDQ method can easily compete with existing methods of solution of lubrication problems for its analytical simplicity, less computer storage requirements, and capability of producing accurate results with a very high computational efficiency. Also, GDQ results for two-lobe journal bearing, lubricated with micro polar fluids, show an increase in load carrying capacity and decrease in the coefficient of friction, attitude angle, and side leakage for bearing in comparison with the same bearing lubricated with Newtonian fluid.

Keywords: GDQ Method, Hydrodynamical Lubrication, Micropolar Lubricator, Circular Journal Bearing

۱- دانشجوی دکتری: Mahdi_zare@stu.yazduni.ac.ir

۲- دانشیار (تویینده پاسخگو): Dashti@yazduni.ac.ir

۱- مقدمه

اساس تمامی پژوهش‌ها در حوزه روان‌کاری فیلم سیال را بررسی معادله رینولدز در شرایط مربوط به مسائل گوناگون تشکیل می‌دهد. به همین علت حل این معادله در شرایط مختلف توانسته موضوع بسیاری از مقالات تحقیقاتی ارائه شده در این زمینه را به خود اختصاص دهد. حل تحلیلی این معادله، تنها در حالاتی که از تقریب یاتاقان طویل و یا بسیار کوتاه (یک بعدی) استفاده گردد، امکان پذیر می‌باشد. از این رو در حالت کلی، حل معادله رینولدز تنها با استفاده از روش‌های حل عددی مختلف انجام گرفته است. ریموندی^۱ از روش‌های حل عددی مختلف انجام گرفته است. ریموندی^۱ و بوید^۲ در سال ۱۹۵۸ تحلیل یاتاقان‌های ژورنال مدور هیدرودینامیکی با روان‌کاری تراکمن‌پذیر را با استفاده از روش تفاضل محدود^۳ انجام دادند^[۱]. در ادامه کاتو^۴ و هوری^۵ در سال ۱۹۸۸ تحلیل مسائل فوق را با استفاده از روش حل عددی اجزاء محدود^۶ انجام دادند^[۲]. تحلیل مسائل مربوط به یاتاقان‌های ژورنال هیدرودینامیکی غیر مدور^۷، اولین بار توسط پینکاس^۸ در سال ۱۹۵۶ انجام گرفت^[۳]. وی در تحقیق خود به تحلیل پارامترهای عملکرد یاتاقان‌های ژورنال بیضوی اشاره نمود. در ادامه محققین زیادی به پژوهش در حوزه مسائل مربوط به یاتاقان‌های ژورنال غیر مدور روی آوردند. مالیک^۹ در سال ۱۹۸۳ موفق به تحلیل یاتاقان‌های ژورنال بیضوی با روش اجزاء محدود گردید^[۴]. چاندرا^{۱۰} و همکارانش در سال ۱۹۸۳ حل مربوط به پایداری یاتاقان‌های گازی غیر مدور را برای حالت خطی با استفاده از روش اجزاء محدود ارائه نمودند^[۵]. عطیا هیلی^{۱۱} و همکارانش در سال ۲۰۱۰ تحلیل حالات خاصی از یاتاقان‌های ژورنال مدور سیلندری تحت روان‌کاری هیدرودینامیک و الاستوهوافروزینامیک را با روش تفاضل محدود گزارش

فهرست علائم

توجه: کمیت‌های بی‌بعد بدون علامت بار مشخص شده‌اند.	
لقی شعاعی متغیر درون یاتاقان ژورنال	$\bar{C} \text{ (m)}$
غیرمدور	
کمترین میزان لقی شعاعی برای حالتی که مرکز محور و یاتاقان بر هم منطبق هستند.	$\bar{C}_m \text{ (m)}$
ضرایب ویسکوزیته زاویه‌ای	c_a, c_o, c_d
فاصله میان مرکز یاتاقان و مرکز محور	$e \text{ (m)}$
ضخامت فیلم روان‌کار	$\bar{h} \text{ (m)}$
متغیر ضریب اصطکاک	f_f
شعاع محور	$\bar{R} \text{ (m)}$
فشار فیلم سیال	$\bar{p} \text{ (N/m}^2\text{)}$
قابلیت حمل بار	$W = \bar{W} \bar{C}_m^2 / (\mu \bar{U} \bar{L} \bar{R}^2)$
محورهای مختصات کارتئین منطبق بر مرکز یاتاقان	x, y, z
مرکز محور	O_j
سرعت خطی ژورنال درون یاتاقان	$\bar{U} \text{ (m/s)}$
مؤلفه‌های سرعت سیال در راستای محورهای مختصات	$v_x, v_y, v_z \text{ (m/s)}$
طول یاتاقان	$\bar{L} \text{ (m)}$
دبی نشتی روان‌کار از یاتاقان	Q_s
مرکز یاتاقان	O_b
علائم یونانی	
خروج از مرکزی یاتاقان	ε
نسبت منظری درون یاتاقان	$\lambda \text{ (}\bar{L} / 2\bar{R}\text{)}$
ضریب دوم لرجت دینامیکی	λ_0
پریلود درون یاتاقان	$\delta \text{ (}\bar{C}_m / \bar{C}\text{)}$
چگالی	$\rho \text{ (kg/m}^3\text{)}$
لرجت دینامیکی چرخشی ذرات معلق در سیال	$\mu_\gamma \text{ (N.s/m}^2\text{)}$
مؤلفه‌های سرعت زاویه ای ذرات میکرو حول محورها	$w_x, w_y, w_z \text{ (1/s)}$
زاویه بین خط المرکزین یاتاقان و ژورنال با محور	ϕ_0
مختصات زاویه‌ای اندازه‌گیری شده از محور	θ_x

1- Raimondi

2- Boyd

3- Finite Difference Method (FDM)

4- Kato

5- Hori

6- Finite Element Method (FEM)

7- Non-circular Hydrodynamic Journal Bearings

8- Pinkus

9- Malik

10- Chandra

11- Attia-Hili

به اهمیت سرعت و دقیقت در انجام محاسبات مورد نیاز در تحلیل اکثر مسائل مهندسی از جمله مسائل حوزه روانکاری، محققین همواره در پی یافتن روش‌های حل عددی کارتر، ساده‌تر و با سرعت همگرایی بالاتر جهت دستیابی به نتایج مورد نظر خود بوده‌اند. روش درونیابی مشتق روشی ساده، دقیق و کارا برای حل معادلات دیفرانسیل پاره‌ای خطی و غیرخطی همراه با شرایط اولیه و مرزی می‌باشد. این روش، اولین بار توسط بلمن^{۱۴} و کاستی^{۱۵} در سال ۱۹۷۱ معرفی شد[۱۶]. در ادامه نیز پژوهش‌های زیادی در راستای گسترش و تکامل این روش و تعمیم آن به شاخه‌های مختلف علوم مهندسی صورت گرفت. شو^{۱۶} و ریچارد^{۱۷} در سال ۱۹۹۲ موفق به استخراج یک رابطه بازگشتی جدید برای استخراج ضرایب وزنی در روش درونیابی مشتق شدند و روش خود را روش درونیابی مشتق تعمیم‌یافته^{۱۸} نامیدند[۱۷]. بر^{۱۹} و مالیک^{۲۰} در سال ۱۹۹۴ مسئله مربوط به روانکاری پایدار با استفاده از روانکار در حالات تراکم ناپذیر و تراکم پذیر را مورد بررسی قرار دادند[۱۸]. همچنین زانگ^{۲۱} و همکارانش در سال ۲۰۰۲ نیز تحلیل دسته خاصی از یاتاقان‌های ژورنال مدور هیدرودینامیکی را با استفاده از این روش انجام دادند[۱۹]. تحلیل‌های انجام گرفته در حوزه روانکاری یاتاقان‌های لغزشی و ژورنال مدور با استفاده از روش حل عددی مذکور، سادگی، سرعت و کارایی بالاتر آن را نسبت پایه روش‌های حل عددی مطرح به اثبات رسانید.

در پژوهش‌های انجام گرفته تاکنون نتایج حاصل از بررسی عملکرد یاتاقان‌های ژورنال غیر مدور هیدرودینامیکی با روانکار میکروپلار ارائه نگردیده‌اند. در کار حاضر تحلیل و بررسی‌ها حول محور عملکرد یاتاقان‌های ژورنال غیر مدور دولب^{۲۲} با روانکار میکروپلار توسط روش درونیابی مشتق تعمیم‌یافته شکل گرفته‌اند. نتایج حاصل تأثیر هر یک از پارامترهای ویژه مربوط به ساختار روانکار (نظیر طول

14- Bellman

15- Casti

16- Shu

17- Richards

18- Generalized Differential Quadrature (GDQ) Method

19- Bert

20- Malik

21- Zhang

22- Two-Lobe

دادند)[۶]. تحقیق روی مکانیک سیالاتی با ساختار میکرو، اولین بار توسط جفری^۱ در سال ۱۹۲۲ انجام شد[۷]. در اواسط دهه ۶۰ میلادی ارینگن^۲ مطالعات گسترده‌تری را در زمینه سیالات با ساختار میکرو انجام داد[۸]. تعریف ارینگن از سیال میکرو، محیط لزجی بود که رفتار و ویژگی‌های آن متأثر از حرکت محلی ذرات موجود در حجم معیارهای کوچک داخل آن بود. او این نوع از سیالات را با ۲۲ ضریب تعیین کننده اثر لزجت معرفی نمود. همچنین او شاخه‌ای از این سیالات که در آنها از تغییر شکل المان‌های زیرساختی سیال صرف‌نظر شده و تنها حرکات چرخشی و خطی میکرو ذرات مورد بررسی قرار می‌گرفتند را بررسی و این دسته از سیالات را تحت عنوان سیالات میکروپلار نام‌گذاری نمود[۹]. در سال ۱۹۸۹ خونساری^۳ و بربو^۴ عملکرد یاتاقان‌های ژورنال در دور مدور هیدرودینامیکی با روانکار میکروپلار^۵ را مورد بررسی قرار دادند[۱۰]. وانگ و ژو^۶ در سال ۲۰۰۶ مشخصه‌های عملکرد یاتاقان‌های ژورنال مدور را با در نظر گرفتن تأثیرات حرارت و کاویتاسیون ایجاد شده در فیلم روانکار مورد بازنگری قرار دادند[۱۱]. نیر^۷ و سوکاماران^۸ در سال ۲۰۰۷ عملکرد یاتاقان‌های ژورنال بیضوی تحت در سال ۲۰۰۸ عملکرد یاتاقان‌های ژورنال میکروپلار را بررسی نمودند[۱۲]. دورانی^۹ و همکارانش در سال ۲۰۰۸ مسئله روانکاری در حالت پایا و گذرا با لحاظ اثرات دمایی را توسط ترکیبی از روش‌های حل عددی اجزاء محدود، حجم محدود و المان مرزی انجام دادند[۱۳]. در سال ۲۰۰۹ این نحوه بررسی، توسط ون استاید^{۱۰} و ون بیک^{۱۱} به یاتاقان‌های بیضوی تعمیم داده شد[۱۴]. در سال ۲۰۱۱ تحلیل یاتاقان‌های ژورنال تحت روانکاری میکروپلار با فیلم فشرده توسط نادووینامانی^{۱۲} و سانتوش^{۱۳} انجام گرفت[۱۵]. با توجه

1- Jeffery

2- Eringen

3- Khonsari

4- Brewe

5- Micropolar Lubricant

6- Wang & Zhu

7- Nair

8- Sukamaran

9- Durany

10- Van-ostayed

11- Van-beek

12- Naduvinamani

13- Santosh

$$\Phi(X) = \frac{M(X)}{(X - X_k) M^{(1)}(X_k)} \quad k = 1, 2, \dots, N_x, \quad (2)$$

که در رابطه فوق:

$$M(X) = \prod_{k=1}^{N_x} (X - X_k). \quad (3)$$

همچنین، $M^{(1)}(X)$ مشتق مرتبه اول تابع (X) M می‌باشد

که از رابطه زیر قابل محاسبه است:

$$M^{(1)}(X) = \prod_{k=1, k \neq i}^{N_x} (X_i - X_k). \quad (4)$$

با جایگذاری رابطه (۲) در عبارت (۱) رابطه زیر به دست

می‌آید:

$$A_{ik}^{(1)} = \frac{M^{(1)}(X_i)}{(X_i - X_k) M^{(1)}(X_k)}, \quad i = 1, 2, \dots, N_x, \quad k = 1, 2, \dots, N_x, \quad (5)$$

$$A_{ii}^{(1)} = - \sum_{k=1, k \neq i}^{N_x} A_{ik}^{(1)}, \quad i = 1, 2, \dots, N_x, \quad (6)$$

شو و ریچاردز^۴ در مقالات خود روش بازگشتی زیر را برای محاسبه ضرایب وزنی مربوط به مشتقهای مرتبه بالاتر یک تابع در راستای x پیشنهاد کردند [۱۷]:

$$A_{ik}^{(r)} = r \left(A_{ii}^{(r-1)} A_{ik}^{(1)} - \frac{A_{ik}^{(r-1)}}{X_i - X_k} \right), \quad i = 1, 2, \dots, N_x, \quad k = 1, 2, \dots, N_x, \quad (7)$$

$$r = 1, 2, \dots, N_x - 1.$$

برای محاسبه درایه‌های قطر اصلی نیز رابطه زیر ارائه شد:

$$A_{ii}^{(r)} = - \sum_{k=1, k \neq i}^{N_x} A_{ik}^{(r)}, \quad i = 1, 2, \dots, N_x. \quad (8)$$

روش‌های مختلفی برای تعیین مکان نقاط نمونه بر روی دامنه مسئله وجود دارد که در بررسی حاضر از صفرهای جابه‌جا شده چندجمله‌ای چبیشف به صورت زیر استفاده شده است:

$$x_i = \frac{1}{2} \left(1 - \cos \frac{(2i-1)\pi}{2N_x} \right), \quad i = 2, 3, \dots, N_x - 1, \quad (9)$$

$$0 < x_i < 1.$$

مشخصه^۱ و عدد کوپلینگ^۲ و شکل هندسی (همانند میزان پریلود^۳) را بر وضعیت کارکرد یاتاقان‌های مورد بررسی نمایش نمایش می‌دهند. همچنین یافته‌ها، گویای توانمندی روش درونیابی مشتق در کاهش زمان محاسبات و افزایش سرعت هم‌گرایی تحلیل‌ها در حوزه مسائل مربوط به روانکاری یاتاقان‌های ژورنال هیدرودینامیکی غیر مدور می‌باشند.

۲- روش درونیابی مشتق تعمیم‌یافته

این روش، اغلب برای حل معادلات دیفرانسیل حاکم بر مسائل با ابعاد بیش از یک و نیز با دامنه‌های هندسی غیرمنظم استفاده می‌شود. اما با توجه به شرایط حاکم بر مسئله حاضر، استفاده از این روش برای تحلیل معادله حاکم بر یک دامنه هندسی مربعی منظم $0 < x < 1$ و $0 < y < 1$ تشریح می‌شود.

بر اساس قوانین روش درونیابی مشتق، مشتقات جزئی یک تابع در هر نقطه‌ای از راستای خاص توسط مجموع وزن‌دار مقادیر تابع در تمامی نقاط گرهی نمونه انتخاب شده در آن راستای خاص به دست می‌آید. بنابراین برای مشتق

مرتبه n ام تابع مفروض $\psi(x, y) = \psi$ می‌توان نوشت:

$$\left. \frac{\partial^n \psi}{\partial x^n} \right|_{x_i, y_j} = \sum_{k=1}^{N_x} A_{ik}^{(n)} \psi(x_k, y), \quad (1)$$

$$i = 1, 2, \dots, N_x \quad \text{و} \quad j = 1, 2, \dots, N_y,$$

که در آن، N_x و N_y به ترتیب تعداد نقاط گرهی نمونه انتخاب شده در راستای محور x و محور y بوده و $A_{ij}^{(n)}$ نیز ماتریس ضرایب وزنی مربوط به مشتق مرتبه n ام تابع $\psi(x, y)$ در راستای محور x و در نقطه x_i است. برای تعیین ماتریس ضرایب وزنی باید از یک تابع تقریب آزمایشی تعريف شده روی دامنه مسئله استفاده نمود. تابع تقریب باقیتی شروط کامل بودن و نیز مشتق‌پذیری تا بالاترین مرتبه مشتق موجود در معادله را به صورت هم‌زمان دارا باشد. بر حسب نوع مسئله مورد بررسی می‌توان از توابع آزمایشی مختلفی چون توابع تقریب چند جمله‌ای یا هارمونیک استفاده نمود. در بررسی حاضر از توابع تقریب چند جمله‌ای استفاده گردیده است. چندجمله‌ای مورد استفاده، از توابع درونیابی لاغرانژ به شکل ذیل انتخاب شده است:

1- Characteristic Length

2- Coupling Number

3- Preload

حرکت محور در درون فضای یاتاقان سبب ایجاد فشار در لایه روان کار قرار گرفته بین سطوح می‌گردد. در یاتاقان‌های ژورنال هیدرودینامیکی، به علت ایجاد پدیده کاویتاسیون که در حین چرخش محور درون یاتاقان ایجاد می‌گردد، فشار در قسمتی از فیلم روان کار، مثبت (فیلم همگرا) و در قسمتی دیگر از فیلم روان کار، منفی (فیلم واگرا) می‌باشد. برای حل این مشکل، فرضیات متفاوتی برای حل مسئله یاتاقان ژورنال هیدرودینامیکی با روان کار تراکم ناپذیر ارائه گردیده که در کار حاضر، از روش شرط مرزی رینولدز برای حل مسئله استفاده می‌شود. استفاده از روش درون‌یابی مشتق، امکان جایگزینی معادلات دیفرانسیل همراه با شرایط مرزی و مقادیر اولیه را با یک دستگاه معادلات جبری خطی فراهم می‌آورد. حل دستگاه مذکور تأم با اعمال شرایط مرزی مسئله، توزیع فشار مجهول مورد نظر را در نقاط نمونه انتخاب شده روی دامنه مسئله به دست می‌دهد.

۱-۳- معادلات حاکم بر روان کاری میکروپلار

برای سیال میکروپلار، علاوه بر معادلات بقاء مومنتوم خطی و پیوستگی، به کارگیری معادله بقاء مومنتوم زاویه‌ای نیز برای دست‌یابی به فرم نهایی معادله رینولدز لازم است. با توجه به تئوری سیال میکروپلار ارینگن و در غیاب نیروهای حجمی، معادله بقاء مومنتوم خطی به فرم زیر نوشته می‌شود [۹]:

$$\rho \frac{d\bar{v}}{dt} = -\nabla p + (\lambda_0 + \mu + \mu_r) \nabla(\nabla \cdot \bar{v}) + (\mu + \mu_r) \nabla \bar{v} + 2\mu_r (\nabla \times \bar{w}), \quad (11)$$

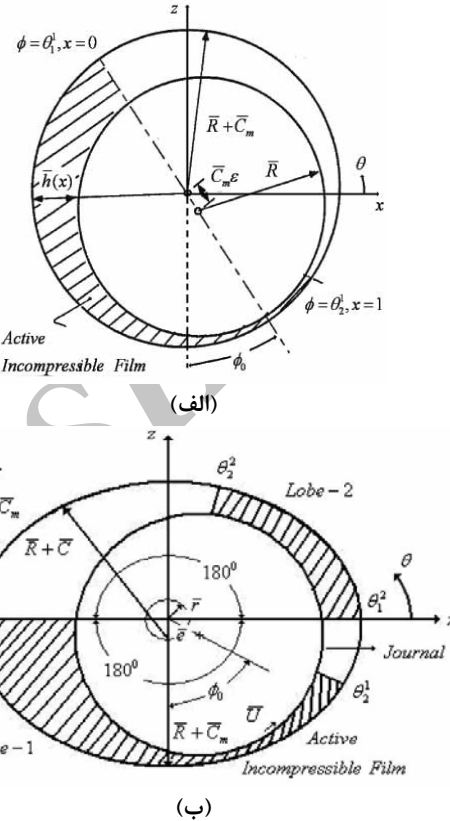
که در آن، \bar{v} بردار سرعت، \bar{w} بردار سرعت چرخش جزئی (سرعت زاویه‌ای چرخش ذرات معلق در سیال)، ρ چگالی، λ_0 لزجت دینامیکی، μ ضریب دوم لزجت دینامیکی و μ_r لزجت دینامیکی چرخشی ذرات معلق در سیال (lezget دینامیکی میکروروتیشن) است. معادله پیوستگی برای سیال تراکم ناپذیر را می‌توان به فرم زیر نوشت:

$$\nabla \cdot (\bar{v}) = 0. \quad (12)$$

همچنین، معادله بقاء مومنتوم زاویه‌ای که حرکت ذرات معلق درون حجم معیار میکرو را تشریح می‌کند، با صرف نظر از ممان حجمی با معادله ذیل بیان می‌شود:

$$x_i = 0 \quad \text{for } i = 1 \quad x_i = 1 \quad \text{for } i = N_x. \quad (10)$$

با اندکی تغییر می‌توان دامنه نقاط نمونه فوق را به هر دامنه دیگری تعمیم داد.



شکل (۱): (الف) یاتاقان ژورنال مدور
(ب) یاتاقان ژورنال غیر مدور دولب.

۳- کاربرد

وجود برخی از شرایط ویژه نظیر تقاضا برای به کارگیری یاتاقان در سرعت‌های بالاتر، وجود مسائل ارتقاشی به علت کارکرد در سرعت‌های بحرانی، نامتعادل بودن و ایجاد شرایط ناپایداری بعض‌اً سبب می‌گردد تا نیاز به استفاده از یاتاقان‌های ژورنال با اشکال هندسی متفاوت با نوع ساده آن در انواع سیستم‌های مکانیکی دارای اجزاء دور احساس گردد. بر اساس شرایط کاری مختلف تاکنون یاتاقان‌های ژورنال غیرمدور در اشکال مختلف طراحی و مورد استفاده قرار گرفته‌اند. شکل ۱ یاتاقان ژورنال مدور و غیر مدور دولب مورد بررسی در کار حاضر را نشان می‌دهد. در این یاتاقان‌ها،

$$\frac{\partial}{\partial \theta} \left[\frac{\bar{\psi}(N, \bar{\Lambda}, \bar{h})}{\mu} \frac{\partial p}{\partial \theta} \right] + \bar{R}^2 \frac{\partial}{\partial y} \left[\frac{\bar{\psi}(N, \bar{\Lambda}, \bar{h})}{\mu} \frac{\partial p}{\partial y} \right] = 6\bar{R}\bar{U} \frac{\partial \bar{h}}{\partial \theta}, \quad (21)$$

$$\bar{\psi}(N, \bar{\Lambda}, \bar{h}) = \bar{h}^3 + 12\Lambda^2 \bar{h} - 6N\bar{\Lambda}\bar{h}^2 \coth \left(\frac{N\bar{h}}{2\bar{\Lambda}} \right). \quad (22)$$

در روابط فوق، ضرایب مرتبط با لزجت و ماده سیال در قالب دو پارامتر N و $\bar{\Lambda}$ ظاهر شده‌اند، این دو پارامتر که بیانگر ویژگی‌های سیال میکروپلار و متمایزکننده آن از سیال نیوتونی هستند، به ترتیب، عدد کوپلینگ و طول مشخصه نامیده می‌شوند. عدد کوپلینگ (N) پارامتر بی‌بعدی است که همبستگی معادلات بقاء مومنتوم خطی و زاویه‌ای را نشان داده و می‌تواند به صورت نسبت نیروهای لزجت چرخشی به نیروهای لزجت نیوتونی سیال ($N^2 = \mu_r/(\mu + \mu_r)$) در نظر گرفته شود. با توجه به ملاحظات ترمودینامیکی، مقدار پارامتر N بین صفر و یک محدود می‌شود. طول مشخصه ($\bar{\Lambda}$ ، بیانگر حالت سیال میکروپلار و نشان‌دهنده کنش بین سیال میکروپلار و ضخامت فیلم روان کار ($\bar{\Lambda}^2 = (c_a + c_d)/4\mu$) است. این پارامتر با بعد طول، تابعی از اندازه مولکول‌ها و یا زیرساخت‌های سیال است. در این مورد نیز در صورتی که مقدار ($\bar{\Lambda}$) به سمت صفر برود، سیال رفتاری نیوتونی خواهد داشت و معادله رینولدز به دست آمده به معادله رینولدز کلاسیک تبدیل می‌شود. کمیت‌ها نیز به صورت زیر بی‌بعد می‌شوند:

$$l_m = \frac{\bar{C}_m}{\bar{\Lambda}}, \quad x = \frac{\theta}{\phi}, \quad h = \frac{\bar{h}}{\bar{C}_m}, \quad y = \frac{\bar{y}}{\bar{L}}, \quad p = \frac{\bar{p}\bar{C}_m^2}{\bar{\mu}\bar{U}\bar{R}}. \quad (23)$$

معادله رینولدز مناسب جهت روان‌کاری میکروپلار برای مسئله مورد بررسی به صورت بی‌بعد عبارت است از:

$$\begin{aligned} & \frac{\partial}{\partial x} \left[\psi(N, l_m, h) \frac{\partial p}{\partial x} \right] + \\ & \left(\frac{\bar{R}\phi}{\bar{L}} \right)^2 \cdot \frac{\partial}{\partial y} \left[\psi(N, l_m, h) \frac{\partial p}{\partial y} \right] = 6\phi \frac{\partial h}{\partial x}, \end{aligned} \quad (24)$$

$$\psi(N, l_m, h) = h^3 + \frac{12h}{l_m^2} - \frac{6Nh^2}{l_m} \coth \left(\frac{Nhl_m}{2} \right). \quad (25)$$

با توجه به اینکه در تحلیل انجام شده از شرط مرزی رینولدز استفاده شده، پارامتر ϕ در رابطه فوق، نقطه انتهایی فیلم فشاری همگرا (مثبت) را درون فیلم سیال برای هر یک از

$$\begin{aligned} \rho j \frac{d\vec{w}}{dt} = & (c_o + c_d - c_a) \nabla (\nabla \cdot \vec{w}) + (c_d + c_a) \nabla \vec{w} \\ & + 2\mu_r (\nabla \times \vec{v} - 2\vec{w}), \end{aligned} \quad (13)$$

که در آن، j ثابت اینرسی و c_d ، c_o و c_a ضرایب ویسکوژیته زاویه‌ای هستند. بردار سرعت و بردار سرعت میکرووتیشن با توجه به شکل ۱ به صورت زیر می‌باشد:

$$\begin{aligned} \vec{v} &= (v_x, v_y, 0), \\ \vec{w} &= (w_x, w_y, 0). \end{aligned} \quad (14)$$

در یاتاقان ژورنال با توجه به کوچک بودن ضخامت فیلم سیال نسبت به شعاع ژورنال می‌توان از انحنای فیلم سیال صرف نظر کرده و جریان را بر روی سطح تخت در نظر گرفت. به این ترتیب معادله بقاء مومنتوم خطی در جهات x و y با توجه به پایدار بودن جریان، به صورت زیر ساده می‌شود:

$$(\mu + \mu_r) \frac{\partial^2 v_x}{\partial z^2} + 2\mu_r \frac{\partial w_y}{\partial z} - \frac{\partial p}{\partial x} = 0, \quad (15)$$

$$(\mu + \mu_r) \frac{\partial^2 v_y}{\partial z^2} - 2\mu_r \frac{\partial w_x}{\partial z} - \frac{\partial p}{\partial y} = 0. \quad (16)$$

مؤلفه‌های معادله بقاء مومنتوم زاویه‌ای نیز به صورت زیر کاهش می‌یابند:

$$(c_a + c_d) \frac{\partial^2 w_x}{\partial z^2} - 2\mu_r \frac{\partial v_y}{\partial z} - 4\mu_r w_x = 0, \quad (17)$$

$$(c_a + c_d) \frac{\partial^2 w_y}{\partial z^2} - 2\mu_r \frac{\partial v_x}{\partial z} - 4\mu_r w_y = 0. \quad (18)$$

شرایط مرزی سرعت، بر روی سطح در حال چرخش ژورنال ($z = 0$) درون یاتاقان و پوسته ثابت یاتاقان ($z = h$) به صورت زیر می‌باشد:

$$v_x|_{y=0} = \bar{U}, \quad v_y|_{z=0} = w_x|_{z=0} = w_y|_{z=0} = 0, \quad (19)$$

$$v_x|_{z=h} = v_y|_{z=h} = w_x|_{z=h} = w_y|_{z=h} = 0. \quad (20)$$

انتگرال‌گیری از معادلات ساده شده مومنتوم خطی و زاویه‌ای با لحاظ کردن شرایط مرزی فوق، مؤلفه‌های سرعت خطی و میکرووتیشنال را به دست می‌دهد. با جای‌گذاری مؤلفه‌های سرعت در معادله پیوستگی و انتگرال‌گیری از معادله حاصله در عرض فیلم روان‌کار، معادله رینولدز اصلاح شده برای سیال میکروپلار با فرض دمای متوسط به صورت زیر حاصل می‌شود:[۲۱]

۳-۳- پارامترهای عملکرد یاتاقان

پارامترهای عملکرد یاتاقان ژورنال تحت روانکاری میکروپلار در حالت بی بعد به صورت زیر قابل محاسبه هستند:

الف- مؤلفه‌های قابلیت حمل بار توسط یاتاقان

۱- مؤلفه بار در امتداد محور x

$$W_x = \phi \int_0^1 \int_0^1 p \cos \theta dx dy, \quad (30)$$

۲- مؤلفه بار در امتداد محور z

$$W_z = -\phi \int_0^1 \int_0^1 p \sin \theta dx dy. \quad (31)$$

بار کلی قابل حمل توسط یاتاقان را می‌توان از رابطه $W = \sqrt{W_x^2 + W_z^2}$ به دست آورد. با محاسبه بار کلی قابل حمل توسط یاتاقان ژورنال، عدد مشخصه (عدد سامر فیلد) یاتاقان از رابطه $S = (1/\pi W)$ قابل محاسبه می‌باشد.

ب- زاویه وضعی در یاتاقان

$$\theta_0 = \tan^{-1}(W_z/W_x), \quad (32)$$

ج- آهنگ نشتی روانکار از یاتاقان

$$Q_s = \left(6 \bar{L} \bar{q}_s / \bar{C}_m \bar{U} \bar{R}^2 \right) = \int_0^1 (-\phi \psi(N, l_m, h) \frac{\partial p}{\partial y}) dx, \quad (33)$$

د- نیروی اصطکاک تولید شده در یاتاقان

$$F = \left(\bar{f}_f \bar{C}_m / \bar{U} \bar{R} \right) = \int_0^1 \int_0^1 A \phi dx dy + \int_0^1 \int_{\phi}^{2\pi} A \frac{h(\theta)}{h(\phi)} d\theta dy, \quad (34)$$

که در آن مقدار A به صورت زیر قابل محاسبه خواهد بود:

$$A = \frac{h}{2\phi} \frac{\partial p}{\partial x} + 1 \left/ \left(h - \frac{2N}{l_m} \left[\frac{\cosh(Nl_m h) - 1}{\sinh(Nl_m h)} \right] \right) \right.. \quad (35)$$

با توجه به روابط فوق، متغیر ضریب اصطکاک در یاتاقان را می‌توان با استفاده از رابطه $f(\bar{R}/\bar{C}_m) = F/W$ محاسبه نمود. برای انجام محاسبات مربوط به یاتاقان‌های ژورنال غیر مدور دولب می‌بایست هر یک از لب‌ها در ابتدا به صورت مجزا مورد بررسی قرار گرفته و در نهایت با استفاده از جمع برداری و یا اسکالار بر حسب نوع پارامتر، برآیند کلی آن کمیت برای یاتاقان کلی محاسبه گردد. از این‌رو می‌توان از جمع برداری، فشار روی لب‌های یاتاقان جهت یافتن فشار منتجه و یا جمع جبری مؤلفه‌های بار در راستای محورهای مختصات جهت یافتن بار منتجه استفاده نمود. همچنین نیروی اصطکاک و

لبهای یاتاقان نشان می‌دهد. به عبارت دیگر برای هر یک از لب‌های یاتاقان غیر مدور $\theta_2^i = \phi$ خواهد بود. شرایط مرزی موجود برای مسئله نیز به صورت زیر می‌باشند:

$$p(0, y) = p(x, 0) = p(x, 1) = p(1, y) = 0, \quad (26)$$

$$(dp/dx)_{(1,y)} = 0. \quad (27)$$

ضخامت فیلم سیال در فضای لقی بین محور و هر یک از لب‌های یاتاقان با فرض موازی بودن راستای محور و یاتاقان و حرکت محور به تنها ی به صورت ذیل محاسبه می‌شود:

$$h_i = \frac{1}{\delta} - \varepsilon \sin \varphi_0 \cos \theta + \varepsilon \cos \theta_0 \sin \theta + \left(\frac{1}{\delta} - 1 \right) \cos(\theta - \theta_0^i), \quad (28)$$

که در آن، $\delta = \bar{C}_m / \bar{C}$ پریلوود یاتاقان، θ_0^i زاویه بین محور x و خط واصل مراکز یاتاقان و لب i می‌باشند. معادله (۲۴)، یک معادله دیفرانسیل جزئی بیضوی است که در حالت کلی حل آن به صورت تحلیلی امکان‌پذیر نیست. لذا از روش‌های حل عددی جهت تحلیل این معادله استفاده می‌شود تا دست‌یابی به توزیع فشار سیال روانکار ممکن گردد.

۲-۳- روش GDQ و معادلات حاکم

با اعمال قوانین روش درون‌یابی مشتق تعمیم‌یافته روی

معادله (۲۴) رابطه زیر حاصل می‌گردد:

$$\begin{aligned} & \left[\left(\frac{\partial \psi}{\partial x} \right) \sum_{k=1}^{N_x} A_{ik}^{(1)} p_{kj} + (\psi)_i \sum_{k=1}^{N_x} A_{ik}^{(2)} p_{kj} \right] & i = 1, 2, \dots, N_x \\ & + \left(\frac{\bar{R} \phi}{L} \right)^2 \left[(\psi)_i \sum_{l=1}^{N_y} B_{jl}^{(2)} p_{il} \right] = 6\phi \left(\frac{\partial h}{\partial x} \right)_i & j = 1, 2, \dots, N_y \end{aligned} \quad (29)$$

که در آن، $A_{ij}^{(1)}$ و $A_{ij}^{(2)}$ به ترتیب ماتریس‌های ضرایب وزنی مربوط به مشتقهای مرتبه اول و دوم تابع ψ در جهت محور x و $B_{ij}^{(2)}$ ماتریس ضرایب وزنی مربوط به مشتقهای مرتبه دوم تابع ψ در جهت محور y نشان می‌دهند. همچنین مذکور را در جهت محور y نشان می‌دهند. همچنین متغیرهای i و j مربوط به مکان نقطه نمونه (x_i, y_j) روی دامنه مسئله می‌باشد. تحلیل معادله فوق با در نظر گرفتن شرایط مرزی موجود در روابط (۲۷-۲۶) امکان دست‌یابی به نتایج موردنظر برای پارامترهای عملکرد یاتاقان ژورنال مدور و غیرمدور دولب را تحت روانکاری میکروپلار فراهم می‌آورد.

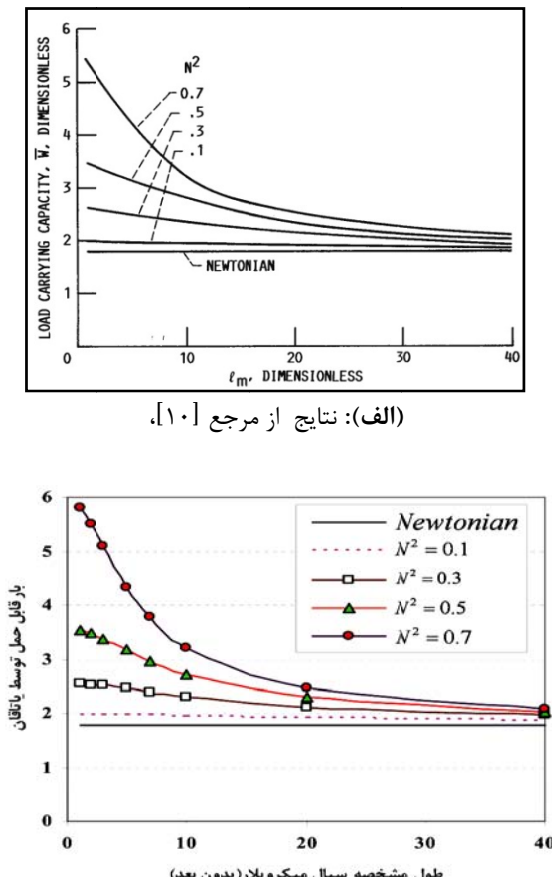
نتایج، کاهش میزان عدد سامرفلید و زاویه وضعی در یاتاقان ژورنال مدور را با افزایش میزان خروج از مرکزی (ϵ) در مقادیر ثابت نسبت طول به قطر (λ)، نمایش می‌دهند.

دی نشستی کلی یاتاقان نیز از جمع جبری مقادیر آنها بر روی هر یک از لب‌ها قابل ارزیابی می‌باشد.

۴- بحث و بررسی

در ابتدا برای تایید صحت عمل کرد برنامه آمده شده جهت اعمال روش درون‌یابی مشتق تعمیم‌یافته روی مسئله یاتاقان ژورنال مدور و غیر مدور دولب، نتایج حاصل برای نمونه‌ای از پارامترهای عملکرد یاتاقان ژورنال مدور با نتایج مشابه موجود در مراجع، مقایسه شده‌اند. جدول ۱ و شکل ۲ گویای تطابق مناسب بین نتایج حاصل از کدنویسی انجام شده برای روش درون‌یابی مشتق تعمیم‌یافته و نتایج گزارش شده در مراجع [۱۰] بوده و کارکرد صحیح برنامه را تأیید می‌نمایند. در جدول ۱ نتایج حاصل برای عدد سامرفلید و زاویه وضعی در یاتاقان ژورنال مدور تحت روان‌کاری تراکم‌ناپذیر با روان‌کار نیوتونی در نسبت‌های مختلف طول به قطر برای یاتاقان از روش‌های تفاضل محدود [۱] و درون‌یابی مشتق تعمیم‌یافته را ارائه شده‌اند.

جدول (۱): عدد سامرفلید و زاویه وضعی در یاتاقان ژورنال مدور با طول محدود، $N_y = 7$ و $N_x = 11$

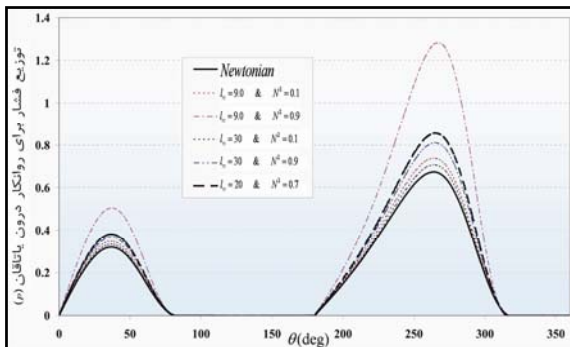


شکل (۲): تغییرات W بر حسب l_m یاتاقان ژورنال مدور ($\delta = 1.0$ ، $\lambda = 0.5$ و $\epsilon = 0.5$).
 $L/D = 0.5$.

شکل ۲ نشان‌دهنده افزایش قابلیت حمل بار در یاتاقان ژورنال مدور با تغییر ویژگی‌های روان‌کار از حالت نیوتونی به میکروپلار می‌باشد. همچنین افزایش قابلیت حمل بار برای یاتاقان ژورنال تحت روان‌کاری میکروپلار با افزایش N^2 در l_m ثابت و کاهش قابلیت حمل بار در یاتاقان با افزایش l_m به ازای N^2 ثابت به وضوح در شکل ۲ قابل تشخیص می‌باشد.

λ	ϵ	S		θ_0	
		FDM	GDQ	FDM	GDQ
۱/۰	۰/۲	۰/۶۳۱	۰/۶۳۲	۷۴/۰۲	۷۳/۹۲۳
	۰/۴	۰/۲۶۴	۰/۲۶۱	۶۳/۱۰	۶۲/۶۴۹
	۰/۶	۰/۱۲۱	۰/۱۲۱	۵۰/۵۸	۵۰/۶۱۹
	۰/۸	۰/۰۴۴۶	۰/۰۴۴۶	۳۶/۲۴	۳۶/۲۸۵
	۰/۹۷	۰/۰۰۴۷	۰/۰۰۴۷	۱۵/۴۷	۱۵/۵۰۷
۰/۵۰	۰/۲	۲/۰۳	۲/۰۳	۷۴/۹۴	۷۵/۱۵۲
	۰/۴	۰/۷۷۹	۰/۷۸۶	۶۱/۴۵	۶۱/۸۰۵
	۰/۶	۰/۳۱۹	۰/۳۲۰	۴۸/۱۴	۴۸/۰۸۵
	۰/۸	۰/۰۹۲۳	۰/۰۹۱۸	۳۳/۳۱	۳۲/۹۷۹
	۰/۹۷	۰/۰۰۶۰۹	۰/۰۰۶۱۸	۱۳/۷۵	۱۳/۸۳۸

در ادامه، نتایج حاصل از روش درون‌یابی مشتقه عمومی‌یافته برای توزیع فشار و پارامترهای عملکرد یاتاقان ژورنال دولب تحت روان‌کاری با سیال میکروپلار ارائه شده‌اند. شکل ۵ گویای تأثیر تغییر در پارامترهای مشخصه روان‌کار میکروپلار بر توزیع فشار درون یاتاقان ژورنال دولب می‌باشد. با توجه به شکل آشکار است که با افزایش میزان N^2 در l_m ثابت برای روان‌کار میکروپلار، پروفیل فشار هم‌گراتری در هر یک از لبه‌های یاتاقان تشکیل می‌گردد. همچنین افزایش مقدار l_m برای روان‌کار میکروپلار با N^2 مشخص، سبب کاهش هم‌گرایی در پروفیل فشار روی لبه‌های یاتاقان و نزدیکی پروفیل فشار منتجه به حالت روان‌کاری نیوتونی در یاتاقان می‌شود.



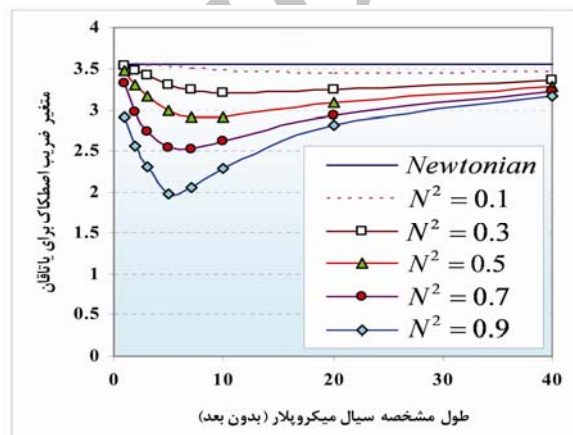
شکل (۵): منحنی توزیع فشار بی بعد در صفحه میانی (p) یاتاقان ژورنال دولب، روان‌کار نیوتونی و میکروپلار.

شکل ۶ تأثیر تغییر در پارامترهای مشخصه روان‌کار میکروپلار بر قابلیت حمل بار در یاتاقان دولب را نشان می‌دهد. نتایج، گویای افزایش و کاهش قابلیت حمل بار در یاتاقان به ترتیب با افزایش میزان N^2 در l_m ثابت و افزایش میزان N^2 در N^2 ثابت می‌باشند.

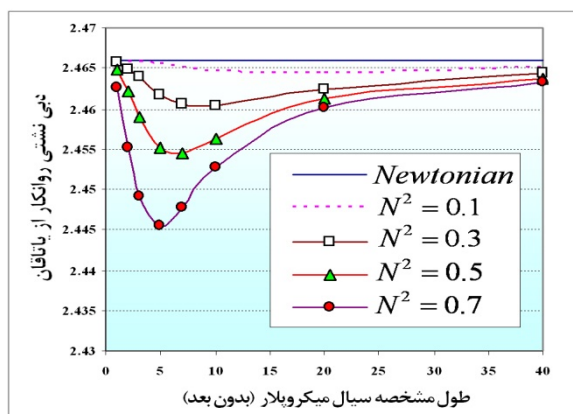
در شکل ۷، تغییرات زاویه وضعی یاتاقان ژورنال دولب با تغییر در خصوصیات سیال روان‌کار میکروپلار ارائه شده است. نمودارها، گویای کاهش میزان زاویه وضعی در یاتاقان با تغییر روان‌کار از حالت نیوتونی به میکروپلار می‌باشد.

در شکل ۸ اثر تغییر خواص سیال روان‌کار میکروپلار بر روی متغیر ضریب اصطکاک در یاتاقان ژورنال دولب نشان داده شده‌است. نتایج به‌طور کلی بیانگر پایین‌تر بودن میزان

در شکل‌های ۳-۴ اثر تغییر در پارامترهای مشخصه سیال روان‌کار میکروپلار نسبت به روان‌کار نیوتونی برای متغیر ضریب اصطکاک و نشتی روان‌کار در یاتاقان ژورنال دور ارائه شده است. با توجه به این شکل‌ها، به وضوح روشن است که با تغییر روان‌کار مورد استفاده در یاتاقان از حالت نیوتونی به میکروپلار، مقدار متغیر ضریب اصطکاک و نیز نشتی روان‌کار از یاتاقان کاهش خواهد یافت. همچنین با توجه به نتایج، امکان انتخاب سیال روان‌کار میکروپلار خاص جهت دست‌یابی به شرایط ایده‌آل برای میزان متغیر ضریب اصطکاک و نشتی درون یاتاقان فراهم می‌باشد.



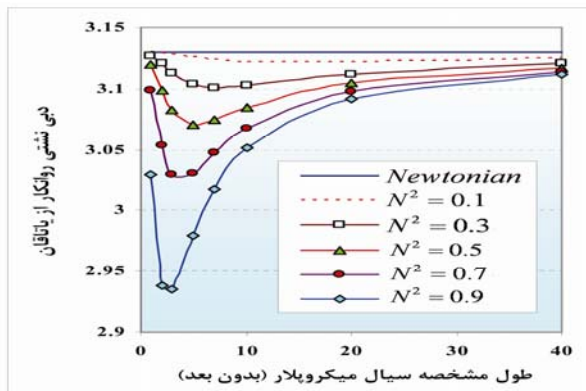
شکل (۳): تغییرات $f(\bar{R}/\bar{C})$ بر حسب l_m یاتاقان مدور، سیال میکروپلار ($L/D = 0.5$ و $\epsilon = 0.5$).



شکل (۴): تغییرات Q_s بر حسب l_m یاتاقان ژورنال مدور، سیال میکروپلار ($L/D = 0.5$ و $\epsilon = 0.5$).

با توجه به شکل فوق می‌توان بیان نمود که با افزایش میزان N^2 در l_m ثابت و همچنین افزایش میزان l_m در N^2 ثابت، دستیابی به مقادیر پایین‌تر برای متغیر ضریب اصطکاک در یاتاقان مورد بررسی، امکان‌پذیر خواهد بود.

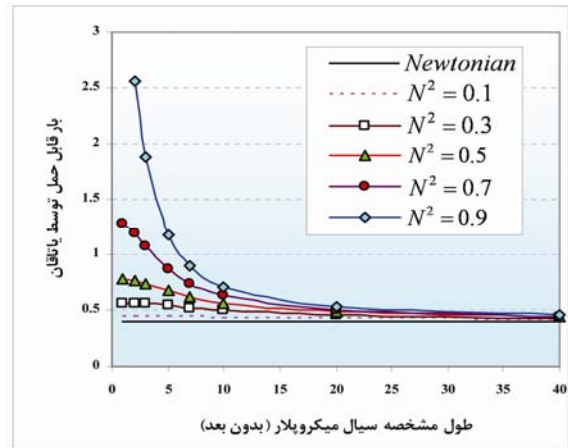
شکل ۹ بیانگر تغییرات دبی نشتی روان‌کار از یاتاقان بر حسب پارامترهای مشخصه روان‌کار میکروپلار مورد استفاده می‌باشد. براساس نتایج، تغییر خواص روان‌کار از حالت نیوتونی به میکروپلار به طور کلی سبب کاهش میزان نشتی روان‌کار از یاتاقان می‌شود که این امر، به افزایش گران روی سیال روان‌کار، با افزایش کمی خصوصیات میکروپلاریته آن اشاره دارد. لذا با افزایش میزان N^2 در l_m ثابت، از مقدار دبی روان‌کار نشتی از یاتاقان کاسته می‌گردد. برای مقادیر ثابت N^2 با افزایش میزان l_m ، مقادیر حاصل برای دبی نشتی منحنی در ابتدا نزولی بوده و در ادامه حالت صعودی به خود می‌گیرد.



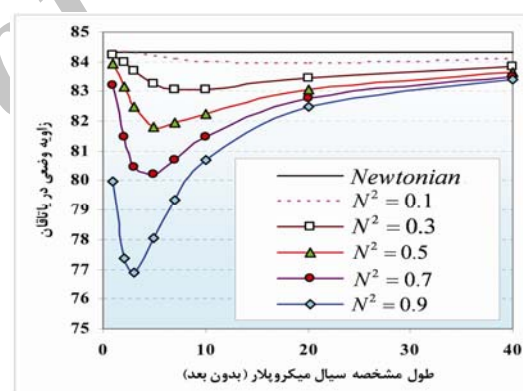
شکل (۹): Q_s بر حسب l_m ، یاتاقان ژورنال دولب روان‌کار میکروپلار ($\epsilon = 0.5$ و $L/D = 0.5$ ، $\delta = 0.5$).

در تحلیل‌های فوق با استخراج معادله رینولدز مناسب جهت دستیابی به نتایج با استفاده از روش GDQ ، از گذنویسی در محیط نرم‌افزار *MATLAB* استفاده شده است. برنامه رایانه‌ای نهایی تدوین شده نیز با استفاده از رایانه‌ای با پردازشگر *RAM 512Mb* و *CPU 2.4GHz* اجرا شده است. برای انجام محاسبات در هر دو راستای x و y از توابع چند جمله‌ای استفاده شده است. نقاط نمونه روی دامنه مسئله نیز با توجه به صفرهای جابه‌جا شده چند جمله‌ای چبیشف

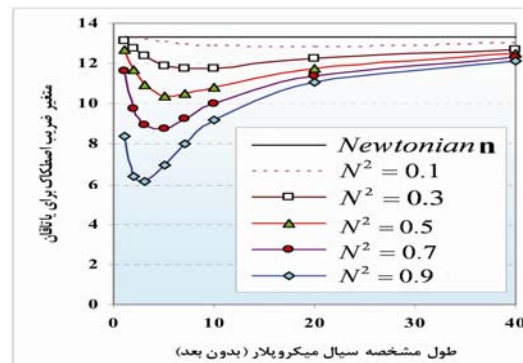
متغیر ضریب اصطکاک برای یاتاقان‌های ژورنال دولب روان‌کاری شونده با سیال میکروپلار نسبت به حالت روان‌کاری نیوتونی است.



شکل (۶): W بر حسب l_m ، یاتاقان ژورنال دولب سیال میکروپلار ($\epsilon = 0.5$ و $L/D = 0.5$ ، $\delta = 0.5$).



شکل (۷): θ_0 بر حسب l_m ، یاتاقان ژورنال دولب سیال میکروپلار ($\epsilon = 0.5$ و $L/D = 0.5$ ، $\delta = 0.5$).



شکل (۸): (R/C_f) بر حسب l_m ، یاتاقان ژورنال دولب روان‌کار میکروپلار ($\epsilon = 0.5$ و $L/D = 0.5$ ، $\delta = 0.5$).

۵- نتیجه‌گیری

در بررسی حاضر با به کارگیری روش حل عددی درونیابی مشتق تعمیم یافته تأثیرات استفاده از روان‌کار میکروپلار به جای روان‌کار نیوتونی در یاتاقان‌های ژورنال مدور و غیرمدور دوب مورد بررسی قرار گرفته است. نتایج حاصل، بیانگر نکات زیر می‌باشند:

۱- نتایج حاصل از اجرای برنامه در حالات مختلف بر سرعت هم‌گرایی و دقت بالای روش GDQ در دستیابی به نتایج مشابه حاصل از سایر روش‌های حل عددی در حوزه یاتاقان‌های ژورنال مدور دلالت دارد. انتخاب تعداد نقاط نمونه انکد به کاهش زمان محاسبات با استفاده از روش GDQ در کلیه حالات می‌نماید.

۲- بررسی‌ها نشان می‌دهند که با توجه به نحوه بازنویسی معادلات و اجرای مراحل محاسباتی، حل روش GDQ از نظر سادگی عبارات نسبت به سایر روش‌های حل رایج در مسائل روان‌کاری، ارجحیت دارد. همچنین به علت مجزا بودن نقاط روی دامنه مسئله از یکدیگر، این روش نسبت به سایر روش‌های عددی که در آنها بایستی بررسی نقاط به صورت همزمان انجام گیرد، نیازمند برنامه‌نویسی ساده‌تری می‌باشد. علت این امر، تابعیت تکبعدی ماتریس‌های ضرایب وزنی محاسبه شده در این روش به محل قرارگیری نقاط نمونه روی دامنه مسئله می‌باشد.

۳- مقایسه نتایج حاصل از این روش برای تحلیل یاتاقان‌های ژورنال مدور و غیر مدور دوب روان‌کاری شونده با روان‌کار نیوتونی و میکروپلار نشان‌دهنده هم‌گرایی بیشتر توزیع فشار ایجاد شده در فیلم روان‌کار، افزایش قابلیت حمل بار، کاهش زاویه وضعی، کاهش متغیر ضربی اصطکاک و کاهش نشتی روان‌کار از یاتاقان ژورنال غیر مدور با تغییر حالت روان‌کار از نیوتونی به میکروپلار دارد و

۴- از نقطه نظر حل عددی، بررسی انجام شده گویای آن است که با توجه به ویژگی مسائل مربوط به یاتاقان‌های ژورنال مدور و غیر مدور، روش درونیابی مشتق تعمیم یافته با توجه به خصوصیاتی نظری سرعت، دقت و سادگی می‌تواند به عنوان روشی مناسب و جایگزین در حوزه تحلیل مسائل مذکور به کار گرفته شود.

انتخاب شده‌اند. برای تحلیل مسئله در یاتاقان، در هر دو حالت مدور و غیر مدور دوب از شبکه‌ای با ابعاد $N_x = 12$ و $N_y = 7$ بر روی دامنه مسئله استفاده شده است. یافتن مکان انتهایی فیلم فشاری مثبت در یاتاقان ژورنال مدور و هر یک از لبه‌های یاتاقان برای حالت غیرمدور دوب نیز با استفاده از روش تکرار جهت برقراری شرط مرزی رینولدز انجام گرفته است. با توجه به اجرای برنامه در شرایط متنوع ورودی ملاحظه می‌گردد که با انتخاب دقیق عبارت تعیین‌کننده، تعداد تکرار مسئله برای نسبت‌های مختلف خروج از مرکزی محور درون یاتاقان در هر دو حالت مدور و غیر مدور می‌توان تعداد تکرارها را به راحتی تا حد ممکن کاهش داده و نتایج را در زمان کوتاه‌تری از خروجی برنامه دریافت نمود.

در جدول ۲ زمان اجرای برنامه جهت دستیابی به نتایج مربوط به عمل کرد یاتاقان ژورنال مدور و غیرمدور توسط روش‌های حل عددی مختلف با هم مقایسه شده‌اند. بررسی‌ها گویای قابلیت هم‌گرایی سریعتر به نتایج با دقت مشابه، در صورت استفاده از روش حل عددی درونیابی مشتق می‌باشند.

جدول (۲): مقایسه زمان لازم جهت استخراج نتایج

زمان اجرا	روش حل	نتایج	روانکار	نوع یاتاقان
۰/۷	Trigonometric Series	جدول (۱)	ژورنال مدور	نیوتونی
۰/۸	FDM			
۰/۷۵	FEM			
۰/۴	GDQ			
۲/۳	FEM		میکروپلار	شکل‌های (۴-۲)
۱/۱	GDQ			
۳۴/۸	FEM	شکل‌های (۹-۵)	ژورنال غیرمدور	نیوتونی
۱۳/۹	GDQ			
۱۰۳/۲	FEM	شکل‌های (۹-۵)	میکروپلار	دو لب
۲۹/۷	GDQ			

- Bearings”, Int. Conf. on Advanced Tribology, Vol. 42, No. 1, pp. 23-32, 2009.
15. Naduvinamani, N.B. and Santosh, S. “Micropolar Fluid Squeeze Film Lubrication of Finite Porous Journal Bearing”, Int. Conf. on Advanced Tribology, Vol. 44, No. 4, pp. 409-416, 2011.
 16. Bellman, R. and Casti, J. “Differential Quadrature and Long-term Integration”, J. Math. Analysis Appl., Vol. 34, No. 1, pp. 235-238, 1971.
 17. Shu, C. and Richards, B.E. “Application of Generalized Differential Quadrature to Solve Two-dimensional Incompressible Navier-Stokes Equations”, Int. J. Num. Methods in Fluids, Vol. 15, No. 7, pp. 791-798, 1992.
 18. Bert, C.W. and Malik, M. “Differential Quadrature Solutions for Steady-state Incompressible and Compressible Lubrication Problems”, J. Tribology, Vol. 116, No. 2, pp. 296-302, 1994.
 19. Zhang, Q., Guo, G., and Winoto, S.H. “Analysis of Hydrodynamic Journal Bearing with GDQ Method”, Magnetic Recording Conf., Digest of the Asia-Pacific, Singapore, 2002.
 20. Shu, C. and Richards, B.E. “Parallel Simulation of Incompressible Viscose Flows by Generalized Differential Quadrature”, Comput. Syst. in Eng. Vol. 3, No. 4, pp. 271-281, 1992.
 21. Prakash, J. and Sinha, P. “Lubrication Theory of Micropolar Fluid and Its Application to a Journal Bearing”, Int. J. Eng. Sci., Vol. 13, No. 3, pp. 217-232, 1975.

مراجع

1. Raimondi, A.A. and Boyd, J. “A Solution for the Finite Journal Bearing and Its Application to Analysis and Design”, ASLE Trans., Vol. 1, No. 1, pp. 159-209, 1958.
2. Kato, T. and Hori, Y. “A Fast Method for Calculating Dynamic Coefficients of a Finite Width Journal Bearing with Quasi Reynolds Boundary Condition”, ASME J. Tribology, Vol. 110, No. 3, pp. 387-393, 1988.
3. Pinkus, O. “Analysis of Elliptical Bearings”, Trans. ASME, Vol. 78, No. 16, pp. 965-976, 1956.
4. Malik, M. “A Comparative Study of Some Two-lobed Journal Bearing Configurations”, ASLE Trans., Vol. 26, No. 1, pp. 118-125, 1983.
5. Chandra, M., Malik, M., and Sinhasan, R. “Comparative Study of Four Gas Lubricated Non-circular Journal Bearing Configurations”, Tribology Int., Vol. 16, No. 2, pp. 26-31, 1983.
6. Attia-Hili, M., Bouaziz, S., Maatar, M., FakhfAkh, T., Haddar, M., and Jeffery, G.B. “Hydrodynamic and Elasto-Hydrodynamic Studies of a Cylindrical Journal Bearing”, J. Hydrodynamics, Ser. B, Vol. 22, No. 2, pp. 155-163, 2010.
7. Jeffery, G.B. “The Motion of Ellipsoidal Particles Immersed in a Viscous Fluid”, Royal Society of London, Se. A, Vol. 102, No. 715, pp. 161-179, 1922.
8. Eringen, A. “Simple Micro Fluids”, Int. J. Eng. Sci., Vol. 2, No. 2, pp. 205-217, 1964.
9. Eringen, A. “Theory of Micropolar Fluids”, J. Math. & Mech., Vol. 16, No. 1, pp. 1-18, 1966.
10. Khonsari, M.M. and Brewe, D.E. “On the Performance of Finite Journal Bearing Lubricated with Micropolar Fluids”, Tribology Trans., Vol. 32, No. 2, pp.155-150, 1989.
11. Wang, X. and Zhu, K. “Numerical Analysis of Journal Bearing Lubricated with Micropolar Fluid Including Thermal and Cavitating Effects”, Tribology Int., Vol. 39, No. 3, pp. 227-237, 2006.
12. Prabhakran-Nair, K., Sukamaran, V.P., and Jayadas, N.H. “Static and Dynamic Analysis of Elastohydrodynamic Elliptical Journal Bearing with Micropolar Lubricant”, Int. Conf. on Advanced Tribology, Vol. 40, No. 2, pp. 297-305, 2007.
13. Durany, J., Pereira, J., and Varas, F. “Numerical Solution to Steady and Transient Problems in Thermo-hydrodynamic Lubrication, Using a Combination of Finite Element, Finite Volume and Boundary Element Methods”, J. Finite Elements in Analysis and Design, Vol. 44, No. 11, pp. 686-695, 2008.
14. Van-ostayed, R. and Van-beek, A. “Thermal Modeling of the Lemon-bore Hydrodynamic